

**УДК 629.429.3:621.313**

**Б. Г. Любарский**, канд. техн. наук,  
**Н. А. Гордеева**,  
**Д. Ю. Зюзін**, канд. техн. наук,  
 Национальный технический  
 университет «Харьковский  
 политехнический институт»,  
**М. Л. Глєбова**, канд. техн. наук  
 Харківська національна академія  
 міського господарства  
**Е. С. Рябов**, канд. техн. наук  
 ГП Завод «Електротяжмаш»

## **МАТЕМАТИЧЕСКАЯ МОДЕЛЬ ЧЕТЫРЕХФАЗНОГО ЛИНЕЙНОГО ШАГОВОГО ЭЛЕКТРОМЕХАНИЧЕСКОГО ПРЕОБРАЗОВАТЕЛЯ С АКСИАЛЬНОЙ МАГНИТНОЙ СИСТЕМОЙ – ЭЛЕКТРОДВИГАТЕЛЬ ПРИВОДА УПРАВЛЕНИЯ ДВЕРЯМИ**

Модернизация подвижного состава включает в себя улучшение комфорта пассажиров, безопасность передвижения, безопасность загрузки-выгрузки пассажиров, повышения скорости движения. Привод управления дверьми является одним из главных элементов повышения комфорта пассажиров так, как он обеспечивает удобную и безопасную загрузку-выгрузку пассажиров.

В [1] предложен электропривод управления дверьми электропоезда на основе линейного шагового двигателя с аксиальной магнитной системой, рассмотрены требования, предъявляемые к таким приводам.

Рассматриваемый привод имеет электромеханический преобразователь с магнитной системой имеющей сложную геометрию, поэтому для определения рабочих свойств необходимо разработать его математическую модель.

В работе поставлена цель: разработать математическую модель четырехфазного линейного шагового электромеханического преобразователя с аксиальной магнитной системой – электродвигателя привода управления дверьми (ЛШД).

Конструкция двигателя в различных видах приведена на рис. 1. Двигатель состоит из четырех фаз А, В, С и D, магнитные системы которых между собой не связаны. Конструкция катушки каждой фазы состоит из четырех отдельных катушек 3, установленных на разных полюсах статора 2. Для увеличения плавности хода полюсные наконечники статора 2 и ротора 1 выполнены зубчатыми. Фазы двигателя конструктивно соединены между собой корпусом 4.

Рассмотрим построение математической модели ЛШД. Основные энергетические параметры которого представлены в табл. 1

Любая электромеханическая система описывается уравнением Лагранжа имеющим следующий вид [2]:

$$\frac{\partial L}{\partial q_k} - \frac{d}{dt} \left( \frac{\partial L}{\partial \dot{q}_k} \right) - \left( \frac{\partial F}{\partial \dot{q}_k} \right) + Q_k = 0 \quad (1)$$

где  $L$ - силовая функция Лагранжа,  $F$ - релеева функция, описывающая порери в системе.

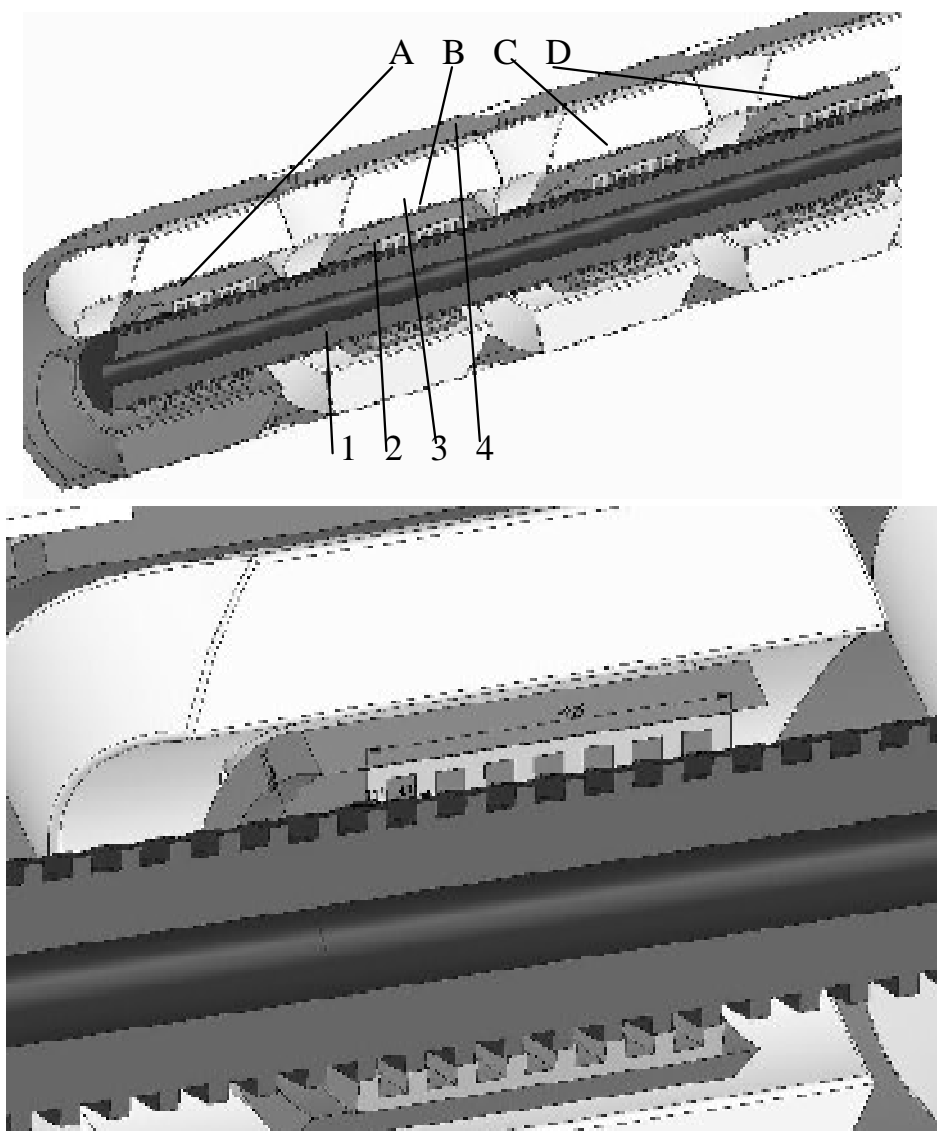


Рис. 1 – Конструкция двигателя:  
1 – ротор, 2– полюса статора, 3 –катушки фаз, 4– корпус

Таблица 1

Основные энергетические параметры ЭМП АИД

Тип координаты	Электрическая	Электрическая	Электрическая	Электрическая	Механическая
$k$	1	2	3	4	5
$q_k$	$q_1$	$q_2$	$q_3$	$q_4$	$x$
$q'_k$	$i_1$	$i_2$	$i_3$	$i_4$	$v$
$\delta_k$	$\psi_1$	$\psi_2$	$\psi_3$	$\psi_4$	$M_a v$
$-f_k$	0	0	0	0	0
$Q_k$	$e_1$	$e_2$	$e_3$	$e_4$	$F_c$

После определения обобщенных координат выбираем силовую функцию Лагранжа или лагранжиан,  $L(q, \dot{q}, t)$ , который будем использовать для получения уравнений движения. Лагранжиан определяется как разность между кинетической коэнергией  $T$  и потенциальной энергией  $V$ , т.е.

$$\begin{aligned} L = T - V = \\ = \frac{1}{2} \cdot M_a v^2 + \int_0^{i_1} \Psi(i_1, x) di_1 + \int_0^{i_2} \Psi(i_2, x - \frac{\tau}{4}) di_2 + \\ + \int_0^{i_3} \Psi(i_3, x - \frac{\tau}{2}) di_3 + \int_0^{i_4} \Psi(i_4, x - \frac{3\tau}{4}) di_4 \end{aligned} \quad (2)$$

Запишем релееву функцию потерь для фазы ЭМП АИД:

$$F = \frac{1}{2} r i_1^2 + \frac{1}{2} r i_2^2 + \frac{1}{2} r i_3^2 + \frac{1}{2} r i_4^2 + \frac{1}{2} \alpha v^2 \quad (3)$$

Подставив (2,3) в (1) получим уравнения электрического(4) и механического баланса (5):

$$\begin{aligned} e_1 - L(i_1, x) \frac{di_1}{dt} - K(i, x)v - r i_1 &= 0 \\ e_2 - L(i_2, x - \frac{\tau}{4}) \frac{di}{dt} - K(i_2, x - \frac{\tau}{4})v - r i_2 &= 0 \\ e_3 - L(i_3, x - \frac{\tau}{2}) \frac{di}{dt} - K(i_3, x - \frac{\tau}{2})v - r i_3 &= 0 \\ e_4 - L(i_4, x - \frac{3\tau}{4}) \frac{di}{dt} - K(i_4, x - \frac{3\tau}{4})v - r i_4 &= 0 \end{aligned} \quad (4)$$

где  $L(i_1, x) = \frac{\partial \Psi(i_1, x = \text{const})}{\partial i_1}$  - дифференциальная индуктивность,

$K(i_1, x) = \frac{\partial \Psi(x, i_1 = \text{const})}{\partial x}$  - коэффициент при противоЭДС.

$$\begin{aligned} \frac{\partial \left( \int_0^{i_1} \Psi(i_1, x) di_1 \right)}{\partial x} + \frac{\partial \left( \int_0^{i_2} \Psi(i_2, x - \frac{\tau}{4}) di_2 \right)}{\partial x} + \frac{\partial \left( \int_0^{i_3} \Psi(i_3, x - \frac{\tau}{2}) di_3 \right)}{\partial x} + \\ + \frac{\partial \left( \int_0^{i_4} \Psi(i_4, x - \frac{3\tau}{4}) di_4 \right)}{\partial x} - M_a \frac{dv}{dt} - \alpha v + F_c = 0 \end{aligned} \quad (5)$$

$$\text{Величина } F_e(i_1, i_2, i_3, i_4, x) = \sum_{j=0}^3 F_{ej+1}(i_{j+1}, x) = \sum_{j=0}^3 \frac{\partial \left( \int_0^{i_{j+1}} \Psi(i_{j+1}, x - \frac{\tau j}{4}) di_{j+1} \right)}{\partial x}$$

определяет электромагнитную силу ЭМП ЛШД, а  $F_{ej+1}(i_{j+1}, x)$  - электромагнитная сила фазы  $j + 1$ .

Преобразуем выражения (4) и (5) в систему дифференциальных уравнений представленных в виде задачи Коши. Для этого добавим в систему уравнение связи

$$\frac{dx}{dt} = v \text{ и получим:}$$

$$\left\{ \begin{array}{l} \frac{di_1}{dt} = \frac{e_1(t) - K(i_1, x)v - ri_1}{L(i_1, x)} \\ \frac{di_2}{dt} = \frac{e_2(t) - K(i_2, x - \frac{\tau}{4})v - ri_2}{L(i_2, x - \frac{\tau}{4})} \\ \frac{di_3}{dt} = \frac{e_3(t) - K(i_3, x - \frac{\tau}{2})v - ri_3}{L(i_3, x - \frac{\tau}{2})} \\ \frac{di_4}{dt} = \frac{e_4(t) - K(i_4, x - \frac{3\tau}{4})v - ri_4}{L(i_4, x - \frac{3\tau}{4})} \\ \frac{dv}{dt} = \frac{F_e(i_1, i_2, i_3, x) - \alpha v + F_c(t)}{M_a} \\ \frac{dx}{dt} = v \end{array} \right. \quad (6)$$

Система (6) представляет собой математическую модель ЭМП ЛШД.

Для идентификации параметров математической модели предлагается провести цифровой эксперимент по определению величин потокоцепления фазы и электромагнитной силы фазы двигателя. На рис. 2 представлена расчетная область зубцовой зоны. Задача рассматривается в аксиально-симметричной постановке. Принято допущение о не насыщенности участков магнитной цепи: спинки внутреннего и внешнего статоров.

По результатам расчетов магнитного поля определялись значения потокоцепления эквивалентной катушки и электромагнитная сила с использованием стандартных функций FEMM [3].

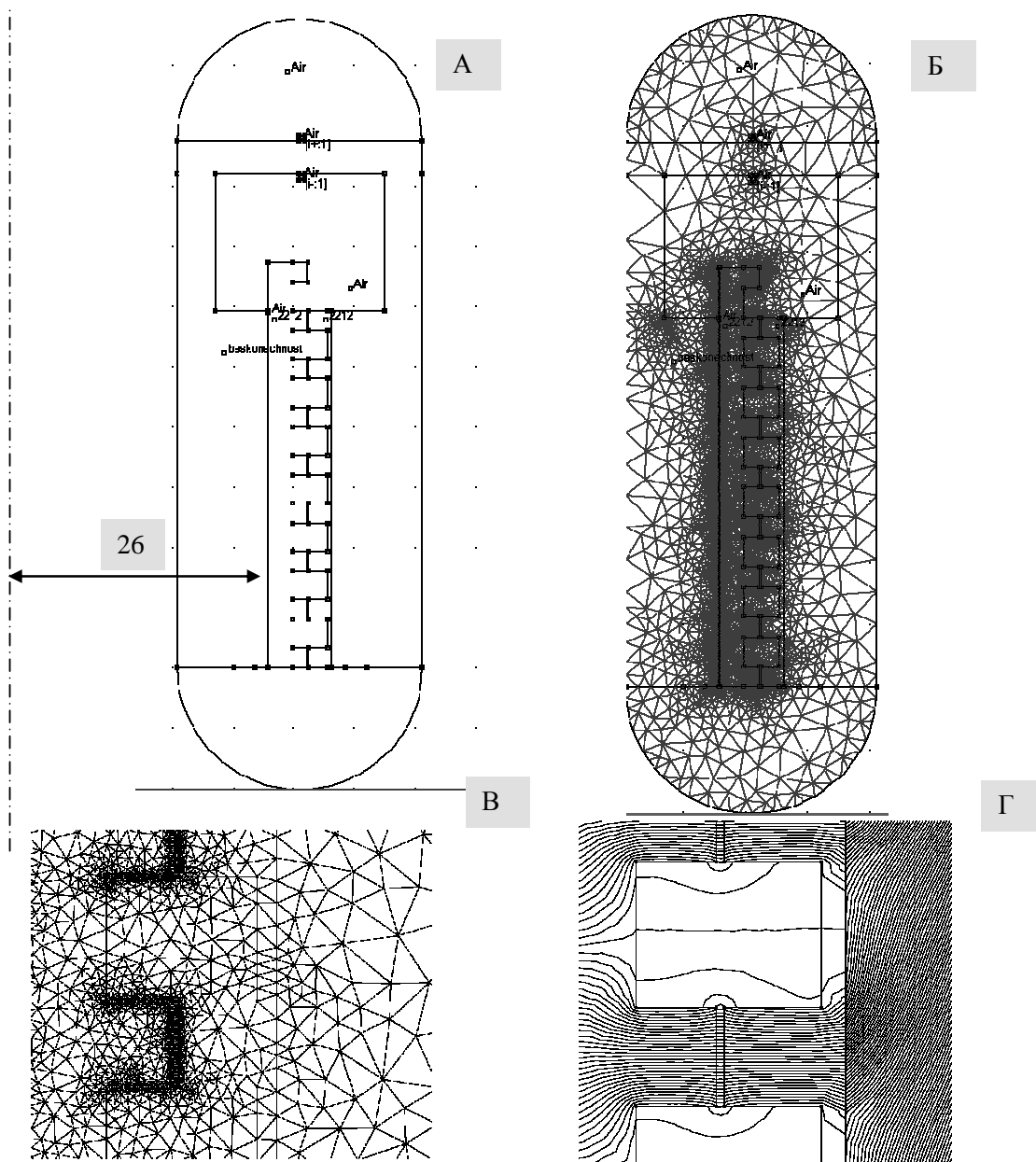


Рис. 2 – Расчет магнитного поля ЛШД:  
А– расчетная область, Б и В – конечно-элементная сетка в расчетной области и в воздушном зазоре, Г– результаты расчета поля в зубцовой зоне.

Для получения непрерывных зависимостей параметров математической модели ЭМП ЛШД предлагается разложить их в гармонический ряд по координате линейного перемещения с последующей аппроксимацией амплитуд каждой гармоники полиномами Чебышева на множестве равноудаленных точек по координате тока фазы, используя результаты вычислительных экспериментов как исходные данные. При этом аппроксимация потокоцепления фазы имеет вид:

$$\begin{aligned}\Psi &= PC(i) + \sum_{k=1}^{N_G} (PA(i) \sin(kx) + PB(i) \cos(kx)) = \\ &= \sum_{n=0}^{N_s} (C_n (M i + Z)^n) + \\ &\sum_{k=1}^{N_G} \left( \sum_{n=0}^{N_s} (A_{n,k} (M i + Z)^n) \sin(kx) + \sum_{n=0}^{N_s} (B_{n,k} (M i + Z)^n) \cos(kx) \right),\end{aligned}\quad (7)$$

где  $PA(i)$ ,  $PB(i)$  и  $PC(i)$  – полиномы Чебышева при синусной, косинусной и постоянной составляющих соответственно,  $k$  – номер гармоники,  $N_G$  – число гармоник,  $A_{n,k}$ ,  $B_{n,k}$  и  $C_n$  – коэффициенты регрессии полиномов при синусной, косинусной и постоянной составляющих соответственно,  $n$  – номер коэффициента регрессии,  $N_s$  – степень полинома,  $M$  и  $Z$  – масштабный коэффициент и смещение при токе фазы.

Аналогично потокоцеплению представим аппроксимацию электромагнитной силы:

$$\begin{aligned}F &= PFC(i) + \sum_{k=1}^{N_G} (PFA(i) \sin(kx) + PFB(i) \cos(kx)) = \\ &= \sum_{n=0}^{N_s} (FC_n (M i + Z)^n) + \\ &\sum_{k=1}^{N_G} \left( \sum_{n=0}^{N_s} (FA_{n,k} (M i + Z)^n) \sin(kx) + \sum_{n=0}^{N_s} (FB_{n,k} (M i + Z)^n) \cos(kx) \right),\end{aligned}\quad (8)$$

где  $PFA(i)$ ,  $PFB(i)$  и  $PFC(i)$  – полиномы при синусной, косинусной и постоянной составляющих соответственно для электромагнитной силы,  $FA_{n,k}$ ,  $FB_{n,k}$  и  $FC_n$  – коэффициенты регрессии полиномов при синусной, косинусной и постоянной составляющих соответственно.

Из выражения (7) получим аналитически производные потокоцеплений по координатам тока и линейного перемещения:

$$L = M \left( \sum_{n=1}^{N_s} (nC_n (M i + Z)^{n-1}) + \sum_{k=1}^{N_G} \left( \sum_{n=1}^{N_s} (nA_{n,k} (M i + Z)^{n-1}) \sin(kx) + \sum_{n=1}^{N_s} (nB_{n,k} (M i + Z)^{n-1}) \cos(kx) \right) \right), \quad (9)$$

$$K = \sum_{k=1}^{N_G} \left( \sum_{n=0}^{N_s} k (A_{n,k} (M i + Z)^n) \cos(kx) - \sum_{n=0}^{N_s} (B_{n,k} (M i + Z)^n) \sin(kx) \right). \quad (10)$$

Преобразуем математическую модель (6) обобщенный вид. Проведя ряд преобразований получим:

$$\left\{ \begin{array}{l} \frac{di_1}{dt} = f_{u1}e_1 - f_{r1}i_1r - f_{\omega1}v \\ \frac{di_2}{dt} = f_{u2}e_2 - f_{r2}i_2r - f_{\omega2}v \\ \frac{di_3}{dt} = f_{u3}e_3 - f_{r3}i_3r - f_{\omega3}v \\ \frac{di_4}{dt} = f_{u4}e_4 - f_{r4}i_4r - f_{\omega4}v \\ \frac{dv}{dt} = \frac{F_e(i_1, i_2, i_3, i_4, x) - \alpha v + F_c(t)}{M_a} \\ \frac{dx}{dt} = v \end{array} \right. \quad (11)$$

$$\text{Где } f_{u1} = \frac{1}{L(i_1, x)}, f_{u2} = \frac{1}{L(i_2, x - \frac{\tau}{4})}, f_{u3} = \frac{1}{L(i_3, x - \frac{\tau}{4})}, f_{u4} = \frac{1}{L(i_4, x - \frac{3\tau}{4})},$$

$$f_{r1} = \frac{r}{L(i_1, x)}, f_{r2} = \frac{r}{L(i_2, x - \frac{\tau}{4})}, f_{r3} = \frac{r}{L(i_3, x - \frac{\tau}{4})}, f_{r4} = \frac{r}{L(i_4, x - \frac{3\tau}{4})},$$

$$f_{\omega1} = \frac{K(i_1, x)}{L(i_1, x)}, f_{\omega2} = \frac{K(i_2, x - \frac{\tau}{4})}{L(i_2, x - \frac{\tau}{4})}, f_{\omega3} = \frac{K(i_3, x - \frac{\tau}{4})}{L(i_3, x - \frac{\tau}{4})}, f_{\omega4} = \frac{K(i_4, x - \frac{3\tau}{4})}{L(i_4, x - \frac{3\tau}{4})}$$

**Вывод.** Система дифференциальных уравнений (11) представляет собой математическую модель ЛШД, параметры которой идентифицированы с использованием метода конечных элементов и аппроксимированы полиномиальными непрерывными функциями. Такая модель может быть использована при моделировании работы привода управления дверями подвижного состава.

### Література

1. Любарский Б.Г. Математическая модель для определения электромагнитного момента реактивного индукторного двигателя с аксиальным магнитным потоком / Б.Г. Любарский, В.П. Северин, Т.В. Парфенюк, Д.Ю. Зюзин, М.Л. Глебова, Н.А. Гордеева // Вісник Національного технічного університету "Харківський політехнічний інститут". – 2010. – № 38. – С. 62–71.
2. Уайт Д. Электромеханическое преобразование энергии / Д. Уайт, Г. Вудсон – Москва: Издательство «Энергия», 1964. – с.528.
3. <http://femm.berlios.de>

МАТЕМАТИЧНА МОДЕЛЬ ЧОТИРЬОХФАЗНОГО ЛІНІЙНОГО КРОКОВОГО  
ЕЛЕКТРОМЕХАНІЧНОГО ПЕРЕТВОРЮВАЧА З АКСІАЛЬНОЇ МАГНІТНОЮ  
СИСТЕМОЮ - ЕЛЕКТРОДВИГУН ПРИВОДУ КЕРУВАННЯ ДВЕРИМА

Б. Г. Любарський, Н. А. Гордєєва, Д. Ю. Зюзін, М. Л. Глєбова, Є. С. Рябов

*Наведено математичну модель чотирьохфазна лінійного крокового  
електромеханічного перетворювача з аксіальної магнітною системою*

MATHEMATICAL MODEL OF A FOUR-STEP LINEAR  
ELECTROMECHANICAL TRANSDUCER WITH AN AXIAL MAGNETIC SYSTEM -  
MOTOR DRIVE CONTROL DOORS

B. G. Lubarsky, N. A. Gordeeva, D. Y. Zyuzin, M. L. Glebova, E. S. Ryabov

*A mathematical model of a four-step linear electromechanical transducer with an  
axial magnetic system.*